

Karamadazı (Yahyalı - Kayseri) Kontak Metazomatik Manyetit Yatağıının Jeolojisi ve Oluşumu

Geology and Genesis of the Contach - Metasomatic Magnetite Deposit at Karamadazı (Yahyalı - Kayseri)

VEDAT OYGÜR

MTA Genel Müdürlüğü, Maden Etüd ve Arama Dairesi, Ankara

"ÖZ" : Çalışma alanında Devoniyen-Jura yaşı aralığında yer alan metamorfik kayalar yüzeylemektedir. Eosen-Oligosen sırasında sokulum yapan mağmatik kayalar Permiyen kireçtaşlarını etkileyerek, dokanaklarında skarnları oluşturmuştur. Mağmatik kaya tarafından piroksenli skarnlar, kireçtaşı tarafındaysa granatlı skarnlardan oluşan bir zonlanma görülür. Piroksenli skarnlar başlıca diyopsid ve hedenberjitten; granatlı skarnlar ise grossular ve andraditten oluşurlar.

Kontak metazomatik oluşumlu Karamadazı manyetit yatağı bu skarn zonunda yer alır. Esas cevher minerali manyetittir. Daha az miktarlarda pirit, kalkopirit, pirotin de izlenmektedir. Demirin kökeni olasılıkla sokulum yapan mağmatik gövdededir. Asit nitelikli sulu eriyikler içinde demir klorid bileşimleri biçiminde taşınmıştır. Manyetit cevherleşmesi metazomatizmanın oksitli evresinde demir klorid eriyigiyle kireçtaşı arasında gelişen tepkimeleler sonucunda oluşmuştur. Sülfid mineralleriye metazomatizmanın son evresinde gelen sülfidli eriyiklerin skarn ve manyetit içindeki çatlakları ve boşlukları doldurmasıyla oluşmuştur. Cevher gövdesi güneydoğuya eğimli bir mercek benzeri biçimdedir. Karamadazı manyetit yatağıının tenörü % 54 Fe ve % 1,7 S; görünür rezervi 6.4 milyon tondur.

"ABSTRACT" : Devonian and Jurassic aged metamorphic rocks occur in the studied area. The igneous rocks intruded during the Eocene and Oligocene have affected the Permian limestones, and the skarns been formed metasomatically at this contact. There is a zoning in the skarns comprising the pyroxene-skarns adjacent to igneous rocks and the garnet-skarns adjacent to limestones. The pyroxene-skarns are consisting mainly of diopside and hedenbergite; the garnet-skarns mainly of grossularite and andradite.

The Karamadazı contact-metasomatic magnetite deposit is found in this skarn belt. Magnetite is the main ore mineral. Pyrite, chalcopyrite, pyrrhotite seen with the lower quantity. The possible origin of the iron is in the intrusive body, and carried as ferrous-chlorides in the acidic hydrous solutions. The magnetite deposit had been formed by the reactions between the ferrous-chloride bearing-solution and the limestone in the oxidizing phase of the metasomatism. The sulfide minerals, however, formed by the sulfide-bearing solutions in the last phase and filled the fissures and the open spaces in the skarn and magnetite. The ore body has a lens-like shape dipping to the south west. The grade of the ore is 54 % Fe and 1.7 % S, and the proved reserve is 6.4 million tons.

GİRİŞ

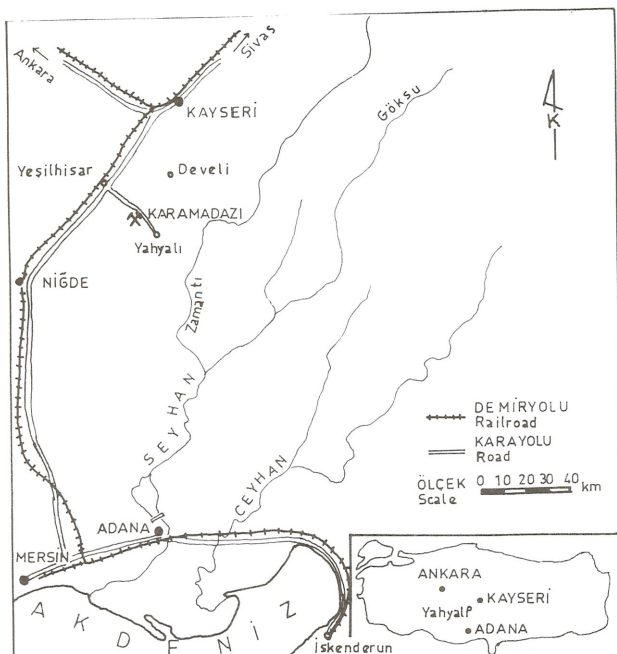
Karamadazı manyetit yatağı Kayseri ili Yahyalı ilçesinin yaklaşık 20 km. kuzeybatısındadır (Şekil 1). İşletme ocağına Yeşilhisar-Yahyalı karayolundan ayrılan 2 km'lik bir stabilize yolla ulaşılır.

Doğu Toroslar'ın kuzey kesiminde yer alan bölge daha önce birçok araştırmacı tarafından değişik amaçlarla çalışılmıştır. Blumenthal (1941, 1944), Baykal (1944), Okay (1954), Metz (1956), Abdüsselamoğlu (1959, 1962), Ulakoğlu (1983) ve Ayhan ve diğerleri (1984) yaptıkları çalışmalarla bölgede görülen kaya türlerini tanımlamışlar ve stratigrafik istifeye yerleştirmiştir. Özgül (1976), Tekeli (1980) ve Tekeli ve diğerleri (1981) ise bölgenin jeotektonik konumunu incelemiştir. Karamadazı manyetit yatağı ve yakın çevresindeki maden jeolojisi çalışmalarıyla Önay (1952), Brennich (1959),

Ağar ve Kitay (1962), Aytuğ (1964), Jacobson ve diğerleri (1968) ve Şenöz (1985) tarafından yapılmıştır. Çalışmacılar, yatağın kontak metazomatik olarak olduğu görüşünde birleşmekteyler.

Karamadazı yöresinde geniş bir yayılım gösteren skarn kuşağıının ve bu kuşakta yer alan cevherleşmelerin ayrıntılı olarak incelenmesi amacıyla çalışmalar tarafından 1976 yılında başlanmış ve 1981 yılında tamamlanmıştır (Oygür ve diğ., 1978). Bu makalede, bu çalışmanın bir bölümü olan Karamadazı manyetit yatağıının ve yakın dolayının jeolojisinden ve cevherleşmenin oluşumundan söz edilecektir.

Karamadazı manyetit yatağıının işletilmesine 1950 yılında başlanmıştır. Önceleri kuyularla sürdürülün üretim daha sonra yeraltı madenciliğine dönüştürülmüştür. Daha sonra ocağın üstü açılarak yeniden açık işletmeye geçilmiştir. Ocaktan yılda ortalama 35 ile 40 bin ton üretim



Şekil 1- Çalışma alanı yer bulduru haritası

Figure 1- Location map of the studied area

yapılmaktadır. Çıkarılan cevher, hem demiryolu ve hem de karayolu taşımacılığıyla İskenderun'a götürülmektedir. Maden alımı politikasındaki dalgalanmalar nedeniyle zaman zaman ara verilen Karamadazi yatağındaki madencilik çalışmaları günümüzde de sürdürmektedir.

JEOLOJİK KONUM

Çalışma sahasında Devoniyen-Jura (?) yaşı aralığında yer alan yeniden kristalleşmiş kireçtaşları ve şistler ile bunları kesen mağmatik kayalar görülür. Blumenthal'e (1941, 1944) göre, Karamadazi ve çevresi "Siyah Aladağ'ın Permokarbonifer yaşı kireçtaşları arazisinde" yer alır. Tekeli (1980) ve Tekeli ve diğerleri (1981) ise çalışma sahasının yer aldığı bölgeyi "Yahyalı İstifi" olarak adlandırmışlardır; bu makalede yazar da aynı adlanmayı kullanacaktır. Tekeli'ye (1980) göre Üst Paleozoyik-Alt Mesozoyik yaşı İstif, allokon peridotit naptı altıda yer alan bir parrotokton naptır.

Yahyalı İstifi

Devoniyen yaşı kalkışlı ve yeniden kristalleşmiş kireçtaşları İstif'in çalışma sahasında görülen en yaşı birimini oluşturur (Şekil 2,3). Bunların üzerine kuvars-serizit-klorit-kalkışlı ile kalk serizit filialtlardan oluşan Karbonifer şistleri gelir. Jeolojik konumuna göre bu birimin bir tektonik dokanakla alttaki Devoniyen kireçtaşları üzerine oturduğu sanılmaktadır. Karbonifer şistleri üzerine uyumlu olarak Permiyen yaşı yeniden kristalleşmiş kireçtaşları gelir. Karamadazi demir madeni çevrelerinde çok geniş bir alana yayılan birimin içinde kireçtaşlarıyla ilksel ilişkili ve uyumlu, değişik boyutlarda metakumtaşı arakatmanları ve mercekleri, ayrıca yer yer de şist, fillat ve kalkışlı düzeyleri bulunur. Kireçtaşları sokulum yapan mağmatik kayaların dokanağında kısmen

mermerleşmişlerdir. Fay zonlarında ve metamorfik kayaların dokanağında kısmen mermerleşmişlerdir. Fay zonlarında ve metamorfik kayaların dokanağında ankeritli kireçtaşları olarak görürlüler. Permiyen kireç taşları üzede uyumlu olarak Triyas kilitaşı-çamurtaş-kireçtaşları arasındaki争議 is alır. Tabanında ince bir düzey biçiminde konglomeratik ve oolitik kireçtaşları görülür. Bu birimin üzerinde yer alan Triyas dolotaşları, altındaki ardışmayla dereceli geçiş gösterir. Çalışma sahasının batı ucunda dolotaşlarının üzerine uyumlu olarak Jura (?) dolomitli kireçtaşları gelir. Permiyen kireçtaşlarından daha açık renkli olan bu kireçtaşları farklı bir yüzeyel ayrışma gösterirler. Birime yaş verebilecek fosilli düzeyler bulunamamıştır. Ancak, litolojik özellikleri ve saha gözlemlerine dayanılarak; benzer dolomitli kireçtaşlarının Toroslar'ın diğer kesimlerinde Jura'da görülmesi (Özgül, 1976; Ayhan ve diğ., 1984) nedeniyle birime olası Jura yaşı verilmiştir.

Yahyalı İstifi'nin tabanını, çalışma sahasının güneyinde Siluriyen yaşı şistler oluşturur (Ayhan ve diğ., 1984) İstifi'nin en üstünde yer alan Jura (?) dolomitli kireçtaşlarının üzerine ise batıda transgresif olarak kırmızı renkli taban çakıltası, yeşil kumtaş, volkanotortul dizi ve neritik kireçtaşlarından oluşan Kretase'ye ilişkin birimler gelir. İzlenen fosilli düzeylere göre Maestrichtyen yaşı olan bu kireçtaşları kesintisiz olarak Paleosen kireçtaşlarına geçerler (Oygür ve diğ., 1978).

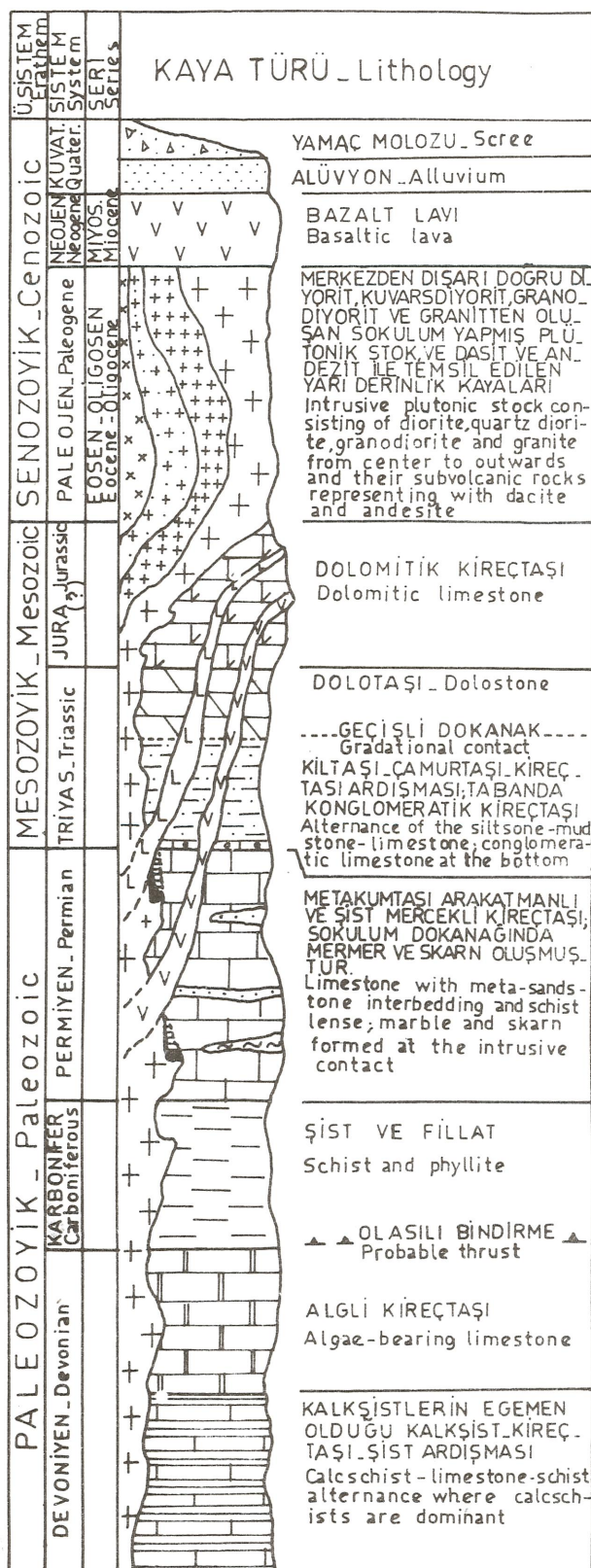
Yahyalı İstifi'nde yer alan çökel kayalar yeşil şist fasyeinde bölgesel metamorfizma geçirmiştir (Özgül, 1976).

Yahyalı Plütonu

Çalışma sahasının kuzeyinde, bir asit ve orta mağmatizmanın ürünlerini olan derinlik ve yarı derinlik kayaları yüzeyler. Derinlik kayaları granit, granodiorit, kuvars dörüt ve diyoritten oluşur. Dasit ve andezit bileşimli yarı derinlik kayaları sahanın batısında küçük yüzeylerinde biçiminde görülür (Şekil 3).

Derinlik kayaları stok biçiminde ve dokanaklarının komşu birimler iç yapısıyla olan konumlarına göre yumulduurlar. Yarı derinlik kayaları damar biçiminde yerleşmişlerdir. Bu plütonik kayaların Permiyen kireçtaşlarıyla olan dokanağında kontak metazomatizma gelişmiştir.

Plütonik kayaların birbirleriyle olan ilişkilerinde belirgin bir mağmatik zonlanma görülür (Şekil 3). Karakuş kayası'nda geniş bir alanda granit yüzeyler; batıya doğru sırasıyla granodiorit ve kuvarsdiyorit görülür. Karamadazi ocağında yapılan sondajlardaysa diyorit kesilmiştir (Ağar ve Kitay, 1962). Daha batıda, çalışma sahasının dışında sırasıyla granodiorit ve granit yeniden yüzeyler (Oygür ve diğ., 1978). Diyorit plütonik stoğun çekirdeğini; kristalleşme ayrımlaşması sonucunda gerek doğu ve gerek batıya doğru da kuvarsdiyorit, granodiorit ve granit çekirdekten uzaklaşma yönünde stoğun dış kuşaklarını oluşturmaktadır.



Şekil 2- Karamadazi yörensinin genelleştirilmiş dikme kesidi

Figure 2-Generalized columnar section of the Karamadazi area

Çalışma sahanının hemen batısında bu mağmatizmanın yarı derinlik ürünlerinden riyodasit ve albitporfiritler Maestrihtiyen-Paleosen kireçtaşlarını keserler; yine aynı yörede Miyosen taban çakıltaşında mağmatik kayaların çakılları görülmektedir (Oygür ve dig., 1978). Bu verilere göre çalışma sahanızda mağmatik kayaların Eosen-Oligosen sırasında yerlesiği söylenebilir. Ulakoğlu'nun (1983) ileri sunduğu Hırsınıyen yaşı ise kenislikle söz konusu değildir.

Yahyalı Plütonu mineralojik bileşimi itibariyle Chappell ve White (1974) ve Didier ve diğerlerinin (1982) belirttiği orojenik granitlerin kökenine ilişkin ayrımları ölçütlerine göre I-tipi granitoidler sınıfına (I: igneous-mağmatik) girmektedir. Granitoidin bol biyotitli olması, hornblendede bulunması, titanit içermesi, apatit kapanımlarının varlığı gibi I-tipi granitoidlere ilişkin belirgin özellikler Yahyalı Plütonu'nda da görülmektedir. Chappell ve White'a (1974) göre, mağmasal kökenli kaynak malzemenin bölümSEL ergimesi sonucunda bu tür granitler oluşmuştur.

Yularıköy Bazalt Lavi

Erciyes volkanizmasına ilişkin bazalt lav akıntısı sahanın kuzeyinde Yularıköy'ün hemen batısında bir dil biçiminde uzanmaktadır. Erciyes volkanizmasının etkinliği Ponsiyen'de başlamış, andezit ve bazalt lavları yörede geniş bir alana yayılmıştır (Lahn, 1945). Yularıköy bazaltı mineralojik bileşimine göre olivinli bazalt olarak adlandırılır.

Tektonik

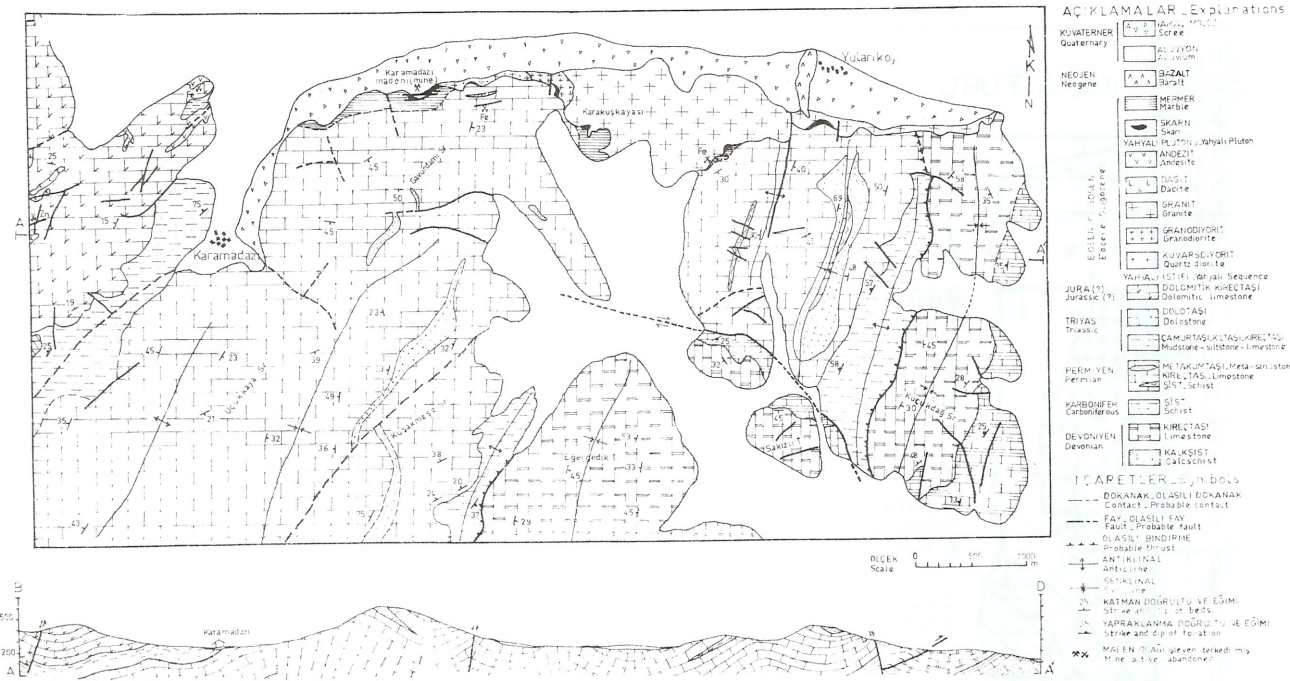
Çalışma sahanının yer aldığı bölgenin tektonik yapısı başlıca Alpin dağılışumu sırasında gelişmiştir (Ketin, 1963).

Karamadazı ve yöresinde, genelde KB-GD ve GB-KD uzanımlı çok sayıda eğim atımlı ters fay izlenmektedir. Karamadazı ocağındaysa D-B yönle üç büyük kırık hattı birbirlerine paralel olarak gelişmiş ve diğer fayları kesmiştir. Bu faylar cevher gövdesini büyük ölçüde etkilemiştir.

Sakızlı Tepe'nin hemen kuzeyinden geçen KB-GD yönlü bir doğrultu atımlı fayla da Devoniyen kireçtaşları ve kalkışları Permiyen kireçtaşlarının karşısına gelmiştir. Ayın tektonik sonucu Küçükdağ sırtındaki Karbonifer şistlerinin güneşe doğru devamı daha batıda Kuşak-meşe sırtında görülür.

Çalışma sahanında görülen yapısal olaylardan birisi de Karbonifer şistlerinin tektonik dokanakla Devoniyen kireçtaşlarının üzerine gelmesidir. Olasılıkla Erken Alpin dönemde başlayan kıvrılma daha da ileri giderek bir bindirmeye dönüşmüştür, sonucunda Karbonifer şistleri Devoniyen kireçtaşlarının üzerine itilmiştir.

Çalışma sahanında Alpin tektoniğine bağlı olarak gelişmiş bir dizi antikinal ve senkinalden oluşan kıvrımlı bir yapı da görülür. Kıvrım eksenleri genel olarak KD-GB yönlüdür. Senkinal ekseni morfolojik olarak tepelerden ve sırtlardan, antikinal eksenleri ise vadilerden geç-



Şekil 3- Karamadazı yörenesi jeoloji haritası (Ayhan ve dig. ne (1984) göre düzeltılmıştır)

Figure 3-Geological map of the Karamadazı area (Revised from Ayhan et al., 1984).

mektedir.

KONTAK METAZOMATİZMA ve SKARNLAR

Yahyalı Plütonu'nun sokulumu sonucu Permiyen kireçtaşlarıyla olan dokanağında metazomatizma yoluyla skarnlar oluşmuştur. Skarnların yayımı çok değişkendir ve bu dokanağın her yerinde görülmezler. Skarnları çevreleyen kireçtaşları da kısmen mermerleşmiştir.

Karamadazı ocağıının bulunduğu kesimde sakrnrlar, mağmatik kaya ile kireçtaşı arasındaki dokanak boyunca kuzyedoğu-güneybatı yönünde uzanan ve güneydoğu-ya eğimli bir kuşak biçimindedir. Bu dokanağın kireçtaşlarının katmanlanma düzlemleriyle uyumlu olması nedeniyle metazomizasyon yol açan akişkanlar sadece bu dokanak boyunca yayılmışlardır. Sahanın diğer kesimlerindeyse skarnrlar daha kılıçık boyutlu ve seyrek olarak görülen mercekler biçimindedir.

Olusum

madazı skarnında metazomatizma kayanın belirli bir hacminde görülür ve metazomatizma cephesi de düzlemseldir.

Karamadazı skarnının oluşum ısısı izlenen minerallere göre kuramsal olarak 500° – 600°C dir, ve skarn derin elenmeyecek ortamda 250 ile 1000 bar arasındaki basınçta oluşmuştur (Zharikov, 1970; Reverdatto, 1974). Karamadazı skarnında wollastonitin bulunmaması da skarn oluşumu sırasında orta niñ görüce orta basınç altında kaldığını ve ısının yüksek olmadığını göstermektedir (Greenwood, 1967).

Zonlama

Karamadazı sakin kuşağında mağmatik kaya tarafında piroksenli skarnların ve kireçtaşları tarafindaysa granatlı skarnların yer aldığı belirsiz bir zonlanma izlenir. Mağmatik kayadan itibaren mineral dizilimi Hedenberjite → Olivipside → Granate → Mermere biçimindedir. Skarn oluşumu sırasında oldukça yavaş gelişen çift yönlü kimyasal tepkime sonucunda zonların üstüste binerek birbirleriyle karışışları nedeniyle Karamadazı skarnında bu zonların oluşumunu olasılıkla eş zamanlı olduğunu söyleyebiliyoruz.

Skarnların Mineralojisi

Karamadazı skarnı bileşimi açısından klasiktir. Skarnlar metazomatizmanın başlangıcındaki silikatlı evreyi temsil ederler.

Granatlı skarnlar yarı özbiçimli grossularit ve andradit karışımından oluşur. Granat mineralleri yer yer kalsitleşme gösterirler. Ayrıca az miktarda diyopsid, epidot, klorit ile çok az kuvars ve bivitit de görülür.

Piroksenli skarnlar özbiçimsiz ve yarı özbiçimli diopsid ve hedenberjitten oluşur. Çok az miktarda kalsit ve klorit de görülür.

Karamadazi skarnında görülen epidot, aktinot, klorit ve kalsit mineralerinin ısdaki azalmaya bağlı olarak skarlaşma sonrasında hidrotermal süreçler sırasında geliştiği söylenebilir (Reverdatto, 1974).

Mermerler

Skarlaşma sırasında kireçtaşları da plütonun çevresinde kısmen mermerleşmişlerdir. Tümüyle beyaz renkli ve iri kristalli olan mermerde kalsit mineralleşmesinin yanında az miktarda klorit, serizit ve kuvars da görülür. Mermer içinde yer yer grafit oluşumları da izlenmektedir. Fonteilles ve Machairas'ya (1968) göre bu "grafit okşitlenmesi" olayı, kayanın tüm tane arası boşluklarına süzülen bir akışkanın varlığını gösterir. Kireçtaşındaki kömürümsü malzeme metazomatizmanın artmasıyla hareketlenmiş ve kalsit tane sınırları boyunca ufak grafit krisallerini oluşturmuştur.

KARAMADAZI MANYETİT CEVHERLEŞMESİ

Yatağın Konumu

Karamadazı ocağı, Karamadazı köyünün doğusunda ve Gavurdamı sırtının kuzeye bakan yamacındadır (Şekil 3). Skarn zonu içindeki cevher gövdesi güneydoğuya eğimli ve yaklaşık elips biçimli bir mercek görünümündedir. Merceğin uzun eksen GB-KD yönünde 440 m., ve kısa eksenin KB-GD yönünde 350 m. dolayındadır. Mercek, bir masif cevher gövdesinden oluşmaktadır ve değişik düzeylerde ve yönlerde bu gövdeye bağlı parmaklanmalar ve uzantılar göstermektedir (Şekil 4, 5). Masif cevher gövdesinin en kalın olduğu yer K 1-2 sondajında kesilmiş olup 30.99 m.dir.

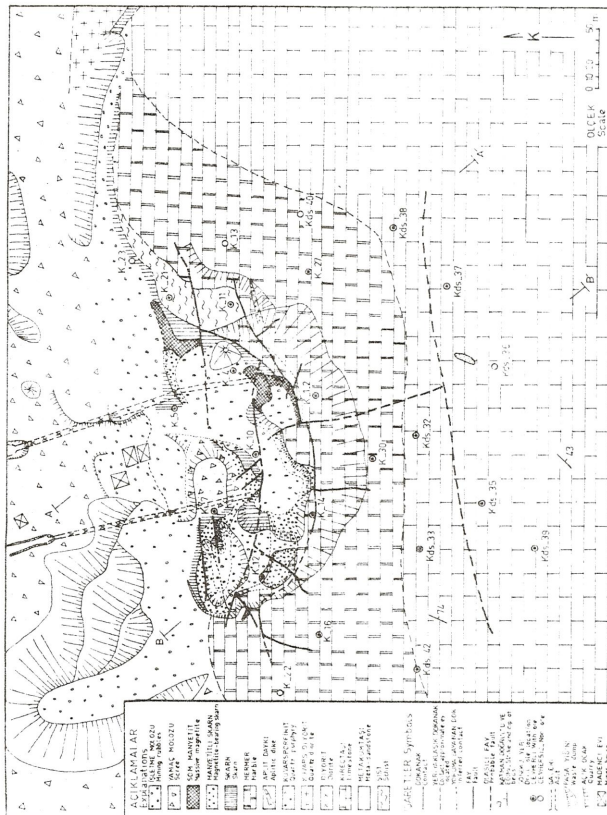
Ocağın girişinde manyetit saçılım ve damarcıkları içeren skarnlar görülür. Manyetitin yer yer yoğunlaştığı kesimlerde cevherin büyük kısmı işletmeyle alınmıştır. Masif manyetit gövdesi ocağın güneydoğu kesiminde görülür. Cevher, D-B yönlü ve birbirine paralel olarak gelişmiş üç ana faydan büyük ölçüde etkilenmiştir. Kuzey'den güneye doğru birincisi ters, diğer ikisi ise normal atımlı faylardır. Her üçde güneye doğru dike eğimlidir. Bu faylanmala bağlı olarak cevher güneye doğru basamaklar biçiminde aşağıya düşmüştür. Ana cevher gövdesini oluşturan blok yeraltı işletmesiyle kısmen işletilmiş ve güneye doğru iki galeriyle cevher alınmıştır.

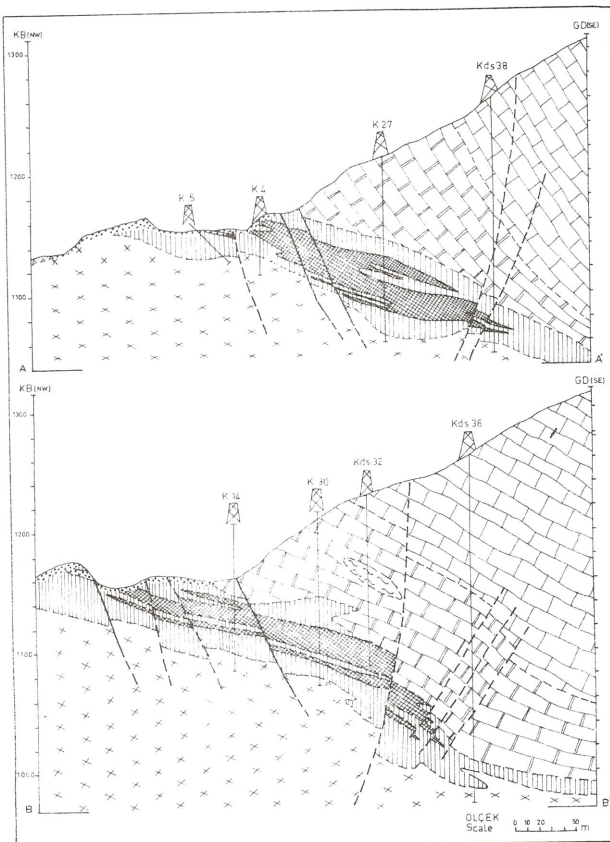
Karamadazı ocağının doğusunda da, skarn zonunda bazı küçük boyutlu manyetit cevherleşmeleri izlenmektedir.

Yatağın Oluşumu

Karamadazı manyetit yatağı kontakt metazomatizmanın oksitli evresinde oluşmuştur. Bu evre, skarnların oluşumuyla eş zamanlı veya hemen sonradır. Söz konusu metazomatizma sokulum yapan mağmatik kayanın skarn dokanlığında epidotlaşması ve epidot mineralerleri arasında saçılımış ya da çok ince damarcıklar biçimindeki man-

yetitin varlığıyla kanıtlanır (Bartholome, 1970). Skarnlarda görülen değişik yönlerde gelişmiş manyetit damarcıkları ve skarn mineralerleri arasındaki açık boşluk dolgusu da manyetitin görece geç oluşumunu gösterir.





Şekil 5- Karamadazi demir yatağının jeoloji kesitleri. Açıklamalar şekil 4'tedir (Oygür ve dig. den, 1978)

Figure 5-Cross sections of the Karamadazi iron deposit. Explanations are in Figure 4 (From Oygür et al., 1978)

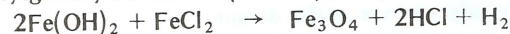
panen, 1967), Granit dokanağında manyetitin oluşumu özel tepkimeler gerektirmez; fakat, olağandan hafifce daha fazla oksitlenmiş (10^{-15} ile 10^{-17} atmosfer arasındaki O_2 basıncı) basit koşullar gerektirir (Krauskop, 1957).

Demir, zayıf asit nitelikli ve sulu eriyikler içinde iki değerli olarak klorin bileşimleri biçiminde taşınır. Whitney ve diğerlerinin (1985) yaptığı deneyel çalışmalar da düşük ıslarda iki değerli demirkloridin baskın biçim olduğu görülmüştür. Metazomatizma cephesine kireçtaşındar gelen $CaCO_3$ ile gelişen tepkimeler sonucunda da oksitler biçiminde çökelir. Cevher yataklanmasına yol açan tepkimelerin başlıca nedeni kalsiyum karbonatla karşılaşlığında eriyikte oluşan pH artışıdır (Holser ve Schneer, 1961). Kukhara'nın (1925) yaptığı deneylere göre manyetitin oluşumu için eriyiğin demir hidroksit içermesi gereklidir, aksi halde hiçbir zaman manyetit doğrudan çökmemektedir. Demir hidroksitin oluşumu ise de demir kloridin tepkimeye girdiği suyun varlığına bağlıdır (Sangster, 1969). Bu tepkime, ortamda

$CaCO_3$ in varlığına bağlı olarak pH daki artışın şiddetlendirdiği bir hidroliz olayıdır. Eriyikte açığa çıkan HCl çevre kayadan gelen $CaCO_3$ tarafından etkisizleştirilerek manyetitin çökelmesi sağlanır. Bu sırada serbestleşen CO_2 ise eriyiğin seyretterek daha sonraki depolanmalara neden olur (Whitney ve dig., 1985).



Böylece manyetit, demir klorid eriyiğile $Fe(OH)_2$ arasında gelişen tepkimeyle kolayca doğrudan oluşabilir. Manyetitteki oksijenin kaynağı da demirkioridi taşıyan eriyiğin suyu olmalıdır (Kalinin, 1962).



Metazomatizmanın son evresinde gelen sülfidli eriyikler, daha önce oluşan skarn ve manyetit içindeki çatlak ve boşlukları doldurmuştur. Böylece sülfidli evrede oluşan pirit, kalkopirit ve pirotin manyetit içinde saçılımlar, damarcıklar ve yer yer küçük boyutlu mercekler biçiminde görülür. Sülfidli evreden sonra gelişen ve spekülarit ile temsil edilen oksitli evrenin bir yinelemesi de gözlenmektedir. Sülfidleşme sonrasında alterasyona bağlı olarak kalsit ve kuvars, manyetitin oksitlenmesiyle de hematit olmuştur. Karamadazi manyetit yatağındaki genelleştirilmiş oluşum sırası Çizelge 1 de gösterilmiştir.

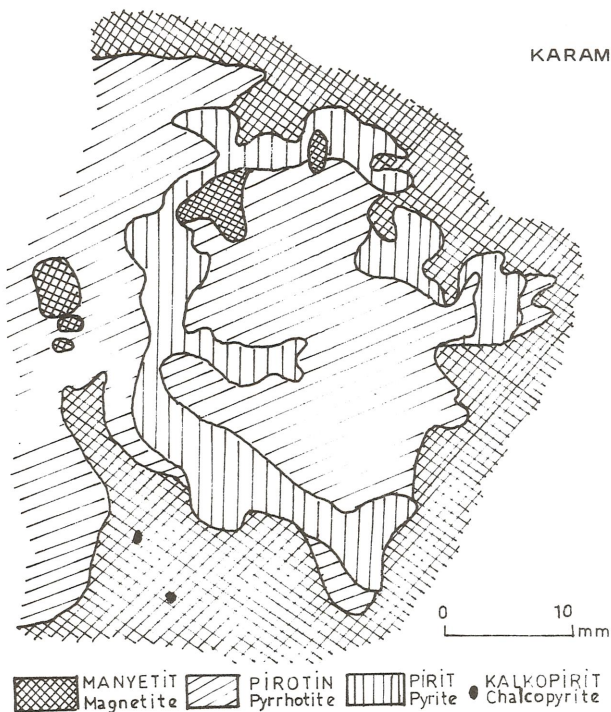
SKARN MINERALLERİ	—
Skarn minerals	—
MANYETIT_Magnetite	—
PIROTIN_Pyrrhotite	—
PİRİT_Pyrite	—
KALKOPİRİT_Chalcocite	— — —
SPEKÜLARİT_Specularite	—
HEMATİT_Hematite	—
KUVARS_Quartz	—

Çizelge 1- Karamadazi manyetit yatağında genelleştirilmiş oluşum sırası

Table 1- Generalized paragenetic sequence at the Karamadazi magnetite deposit

Cevherin Mineralojisi

Karamadazi cevheri bolca kataklastik doku ve basınç ikizlenmeleri gösteren, yarı özbirimli ve özbirimiz mikro oluşumlar biçiminde ve birbirleriyle kenetli, en fazla 100-150 mikron büyülüklükte manyetitten ibarettir. Manyetit, çatlak ve dilinimler boyunca oksidasyon sonucu kısmen martitleşerek maghemit ve hematite dönüşümler de gösterir. Pirit, masif manyetit ve skarn içinde baştanbaşa saçılmıştır. Manyetit içerisinde ve kısmen pirit içerisinde az miktarda kalkopirit görülür (Şekil 6). Ayrıca pirit içerisinde eser miktarda kapanımlar biçiminde ve çok küçük taneli pirotin, ara ürünü (pirit + markazit) dönüşmüş pirotin, çok az sfalerit ve izlenir. Gang mineralleri olarak diyopsid, granat, epidot, ku-



Şekil 6. Cevher minerallerinin birbirleriyle olan ilişkilerini gösterir şematik resim.
Figure 6. Schematic view showing the relationships of the ore minerals

vars, kalsit, klorit görülür.

Yatağın Rezerv ve Tenörü

Karamadazı manyetit yatağının ortalama tenörü % 54 Fe ve % 1.7 S dür. Tenör, sondajlarda kesilen cevherlerin diziyeyle alınan 156 adet örnekten kimyasal analizlerinden ağırlıklı ortalama yöntemiyle hesaplanmıştır. Cevherdeki safsızlıklar belirgin olarak düşüktür (Çizelge 2). Bu değerlere göre kimyasal bileşimi açısından Demir ve Çelik Fabrikaları'nın baz bileşimine çok yakın olması nedeniyle cevherde herhangi bir ayırım yapılması gerekmektedir.

Karamadazı yatağında rezerv hesapları, hazırlanan jeoloji kesitleri üzerinde cevher yüzeylemeleri ve sondajlarda kesilen cevherlerin diziyeyle yararlanılarak yapılmıştır. Bu hesaplamlarda kesik koni formülü kullanılmıştır. Cevherin yoğunluğu, sondajlarda kesilen değişik tipteki cevherleri temsil eden örneklerden laboratuvara saptanmış yoğunlıkların ağırlıklı ortalaması alınarak 4.21 gr/cm³ olarak bulunmuştur. Hesaplamlar sonucunda Karamadazı demir yatağında 6.4 milyon ton görünür rezerv bulunmuştur.

% Fe	% S	% SiO ₂	% Cu	% Ti	% Mn	% V	% Al	% P	% As	% CaO+MgO
54.0	1.7	10.90	0.02	0.02	0.15	0.01	0.15	1.0	0.2	6 (yaklaşık)

Çizelge 2. Karamadazı demir cevherinin ortalama kimyasal bileşimi

Table 2- Average chemical composition of the Karamadazı iron ore

Skarnların oluşumuna yol açan metazomatizmanın başlangıcındaki silikatlı evreyi Karamadazı manyetit

TARTIŞMA ve SONUÇLAR

Karamadazı manyetit yatağının çevresinde yapılan çalışma sonucunda Devoniyen-Jura (?) yaşlı metamorfik kayalardan oluşan Yahyalı İstifi ve bunu kesen Yahyalı Plütonu'nun jeolojisi ayrıntılı olarak çıkarılmıştır.

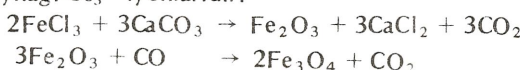
Yahyalı Plütonu, mineralojik bileşimine göre Chappell ve White (1974) tarafından önerilen orojenik granitlerin I-tipi sınıfına girer. Bu tür granitler ortaç bileşimli ve türdeş mağma kökenli kaynak gerekçin ultrametamorfizma ile bülümsemler ergimesi sonucunda oluşurlar (White ve Chappell, 1977). Stern ve Wyllie (1981) ise I-tipi granitlerin, manto peridotiti yahut yitime uğramış okyanusal kabuğa ilişkin ilksel mağma kökenli olmadıklarını belirtirler. Yapıtları deneyel gözlemlere göre granit bileşimli ilksel sıvılar kabuktan kaynaklanmışlardır. Yazarlara göre, kalıntı kabuksal mineralerle birlikte granit sıvısı ortaç bileşimli plütonik mağmaları oluşturabilir. Didier ve diğerleri (1982) ise I-tipi yerine M-tipi granitler (M: mantle-manto, yahut mixed crustal + mantle – karışmış kabuk + manto) terimini önerirler. Bowen ve diğerleri (1984) bu tür granitlerin kapalı sistemde kristal-sıvı bölümenmesiyle yahut birleşmiş bölümenme-ergime yoluyla oluşabileceğini ileri sürerler. Yahyalı Plütonu'nun bu kavram içerisindeki yerini daha iyi belirlemek için ayrıntılı izotop ve jeokimya çalışmalarının yapılması gereklidir.

Yahyalı Plütonu'nun Eosen-Oligosen sırasında soğuklumu sonucunda Permiyen kireçtaşlarıyla olan dokanakta skarnlar oluşmuştur. Skarnlar, metazomatik akışkanların yayılması yoluyla, her iki kaya türü arasındaki karşılıklı etkileşim sonucundan gelişmişlerdir. Mağmatik kaya tarafından piroksenli ve kireçtaşı tarafındaysa granatlı skarnlardan oluşan belirsiz bir zonlanma izlenmektedir. Bu dizilim, genel zonlanma kavramına (Einaudi ve Burt, 1982) ters gibi görülmekteyse de Perry (1969) Christmas Mine'da ve Nokleberg (1981) ters gibi görülmekteyse de Perry (1969) Christmas Mine'da ve Nokleberg (1981) Strawberry Mine'da aynı zonlanmayı saptamışlardır. Thompson'un (1975) kalsilikat yayılma zonlarına ilişkin çalışmasında ve Vidale'in (1969) yayılma değiş tokuş deneylerinde de granatın kalsiyumca zengin kaya türü (mermer) yakınında deriştiği belirtilmektedir.

yatağını oluşturan oksitli evre izlemiştir. Daha sonra sırasıyla pirit, kalkopirit ve pirotinle temsil edilen sülfidli

vre ve speküleritin oluşturduğu bir ikinci oksitli evre de gelişmiştir.

Yatağın oluşumu için gerekli kaynak gereci sağlayabilecek olağan dışı demir niceliği içeren herhangi bir kaya türü çalışma sahasında görülmemektedir. Bu nedenle demirin olasılıklı sokulum yapan gövdeyle aynı magmatik kökene bağlı olduğu düşünülmektedir. Plütonu oluşturan granitik sıvı, bölümsel ergime sırasında demiri çevreden kazanmıştır. Ancak metazomatik akışkanların yükseltimleri sırasında daha, derinlerdeki ferromağnezyen minerallerce zengin yan kayalardan demiri bünyelerine alabilecekleri de düşünülebilir. Demir, hafifçe asit nitelikli ve sulu eriyikler içinde iki değerli klorin bileşimleri biçiminde taşınmıştır. Kalsiyum karbonatın neden olduğu pH artışıyla demir kloridlerin şiddetli hidrolizi sonucunda manyetit biçiminde çökelmıştır. Manyetit için gerekli olan oksijenin kaynağı demir kloridli eriyiğin suyudur (Kalinin, 1962). Manyetitin kontakt metazomatik yataklardaki oluşumuyla ilgili bir diğer görüşe göre, Vinogradov ve Dontsova (1952; Kalinin, 1962 den) demirin susuz üç değerli klorin bileşimleri biçiminde (FeCl_3 yahut Fe_2Cl_6) taşındığını belirtirler. Bu görüşe göre manyetitin oluşumu için gerekli olan oksijenin kaynağı Co^{+2} iyonlarıdır.



Bu tepkimelere göre manyetitin oluşabilmesi için CO_2 in CO e dönüşmesi gereklidir. Oysa Hawley ve Robertson'a (1948) göre 400°C ile 800°C ler arasında $\text{CO} : \text{CO}_2$ oranları duraylıdır.



tepkimesi ancak 1500°C nin üzerindeki sıcaklıklarda gelişebilir (Kalinin, 1962). Metazomatizma sürecinde bu sıcaklığa ulaşmak olanağı yoktur.

KATKI BELİRTME

Makalenin yazımı sırasında yardımcılarını esirgemeyen Yunus Lengeranlı'ya, taslağı okuyarak yapıcı eleştiriley katkıda bulunan Dr. M. Cemal Göncüoğlu ve Dr. Atilla Sözen'e teşekkür ederim.

DEĞİNİLEN BELGELER

Abdüsselemoglu, Ş., 1959, Yukarı Seyhan bölgesinde Doğu Torosları jeolojik etüdü: MTA Gen. Md., Rapor No 2668 (yayınlanmamış).

Abdüsselemoglu, Ş., 1962, Kayseri-Adana arasındaki Doğu Toroslar bölgesinin jeolojisi hakkında rapor: MTA Gen. Md., Rapor No 3264 (yayınlanmamış).

Ağar, Ü. ve Kitay, R., 1962, Kayseri ile Yahyalı İlçesi Karamadazı köyü Özkoypuncu manyetit zuhuru civarının jeolojisi ve rezervi: MTA Gen. Md., Rapor No 2886 (yayınlanmamış).

Ayhan, A., Lengeranlı, Y., Çeltek, N. ve Aksoy, E., 1984 Aladaglilar (Bati Zamanti) yörensi (Yahyalı-Çamardı) jeolojisi ve kurşun-çinko etti ieri: MTA Gen. Md., Rapor No 7501 (yayınlanmamış).

Aytug, G., 1964, Kayseri-Yahyalı demir etti: MTA Gen. Md., Rapor No 3734 (yayınlanmamış).

Bartholome, P., 1970, Minerais et skarn dans les aureoles de métamorphisme: Miner. Deposita, 5, 345-353.

Baykal, F., 1944, Malatya-Kayseri arasındaki Torosların jeolojik yapısı: MTA Gen. Md., Rapor No 1703 (yayınlanmamış).

Blumenthal, M., 1941, Niğde ve Adana vilayetleri dahilindeki Torosların jeolojisine umumi bir bakış: MTA Gen. Md. Yayınl. Seri B, No 6, 48 s.

Blumenthal, M., 1944, Kayseri-Malatya arasındaki Toros bölümünün Permokarbonifer arazisi: MTA Erg., 1/31 105-118.

Bowden, P., Batchelor, R.A., Chappell, B.W., Didier, J. ve Lameyre, J., 1984, Petrological, geochemical and source criteria for the classification of granitic rocks: A discussion: Phys. Earth Planet. Inter., 35, 1-11.

Brennich, G., 1959, Kayseri vilayetinde Karamadazı ile Yahyalı arasında kalan mintikanın jeolojisi: MTA Gen. Md., Rapor No 2758 (yayınlanmamış).

Chappell, B.W. ve White, A.J.R., 1974, Two contrasting types of granites: Pacific Geol., 8, 173-174.

Didier, J., Duthou, J.L. ve Lameyre, J., 1982, Mantle and crustal granites: Genetic classification of orogenic granites and the nature of their enclaves: J. Volc. Geoth. Res., 14, 125-132.

Dimanche, F., 1971, Les minéraux de magnétite et les skarns du Ginevro (Ile d'Elbe, Italie): Miner. Deposita, 6, 356-379.

Einaudi, M.T. ve Burt, D.M., 1982, Introduction-Terminology, classification and composition of skarn deposits: Econ. Geol., 77, 745-754.

Fonteilles, M. ve Machairas, G., 1968, Elements d'une description pétrographique et métallogénique du gisement de scheelite du Salau (Ariège): Bull. BRGM, II. serie, No 3, 63-85.

Greenwood, H.J., 1967, Wollastonite, Stability in $\text{H}_2\text{O} - \text{CO}_2$ mixtures and occurrence in a contact-metamorphic aureole near Salmo, British Columbia: Am. Mineral., 52, 1668-1680.

Hawley, J.E. ve Robertson, C., 1948, Supposed oxidation of Fe_3O_4 by CO_2 : Econ. Geol., 43, 603-609.

Holser, W.T. ve Schneer, C.J., 1961, Hydrothermal magnetite: Geol. Soc. Am. Bull. 72, 369-386.

Jacobson, H.S., Yazgan, D., Arda, T. ve Filibeli, H., 1968, Karamadazı demir madeninin jeolojisi, Kayseri-Türkiye: MTA Gen. Md., Rapor No 4542 (yayınlanmamış).

Kalinin, D.V., 1962, Formation of magnetite in contact metasomatic iron deposits: Geochemistry, 7, 722-727

Ketin, İ., 1963, 1/500.000 ölçekli Türkiye Jeoloji Haritası, Kayseri paftası: zahnamesi: MTA Gen. Md.

Korzhinski, D.S., 1964, An outline of metasomatic process: Intern. Geol. Rev., 6, 1713-1734, 1920-1952, 2169-1298.

Krauskopf, K.B., 1957, The heavy metal content of magnetic vapor at 600°C : Econ. Geol., 52, 786-807.

Kukhara, M., 1925, Experiments on hydrothermal precipitation of magnetite and hematite: Japan. J. Geol.

- Geography, 4, 1-32.
- Lahn, E., 1945, Anadolu'da Neojen ve Dördüncü Zaman volkanizması: Türk. Cög. Derg., III, No 7/8.
- Metz, K., 1956, Aladağ ve Karanfil dağının yapısı ve bunların Kilikya Torosu tesisinde edilen batı kenarı hakkında malumat hususu için yapıla jeolojik etüd: MTA Derg., 48, 63-73.
- Nokleberg, W.J., 1981, Geologic setting, petrology and geochemistry of zoned tungsten-bearing skarns at Strawberry Mine, Central Sierra Nevada, California: Econ. Geol., 76, 111-133.
- Okay, A.C., 1954, Kayseri, Niğde ve Tuzgölü arasındaki bölgenin jeolojisi: MTA Gen. Md., Rapor No 2252 (yayınlanmamış).
- Oygür, V., Yurt, M.Z., Yurt, F. ve Sarı, İ., 1978, Kayseri-Yahyalı-Karamadazı ve Kovalı yöreni demir madenleri jeoloji raporu: MTA Gen. Md., Rapor No 6609 (yayınlanmamış).
- Önay, T.Ş., 1952, Kayseri ili Develi ilçesi Yahyalı bucağında Mustafa Koyuncu'ya ait manyetit madeni hakkında maden jeolojisi raporu: MTA Gen. Md., Rapor No 1984 (yayınlanmamış).
- Özgül, N., 1976, Torosların bazı temel jeoloji özellikleri: Türk. Jeol. Kur. Bült., 19/1, 65-78.
- Perry, D.V., 1969, Skarn genesis at the Christmas Mine, Gila County, Arizona; Econ. Geol., 64, 255-270.
- Piirainen, T. ve Piispanen, R., 1967, On the origin of primary skarn iron ores: Compt. Rend. Soc. Geol. Finlande, XXIX, 101-104.
- Reverdatte, V.V., 1974, The facies of contact metamorphism: Dept. Geol. Publ., Canberra (Australian National Univ.), 233 s.
- Sangster, D.F., 1969, Contact-metasomatic magnetite deposits of SW British Columbia: Geol. Surv. Canada Bull., No 172, 85 s.
- Stern, C.R. ve Wyllie, P.J., 1981, Phase relationships of I-type granite with H_2O to 35 kbars: The Dinkey Lakes biotite-granite from the Sierra Nevada Batholith: J. Geophys. Res., 86, 10412-10422.
- Şenöz, E., 1985, Yahyalı (Kayseri) yöreni demir yataklarının jeolojisi, oluşumu ve kökeni: Cumhuriyet Üniv. Müh. Fak. Derg., Seri-A Yerbilimleri, c. 2, s. 1, 85-104.
- Tekeli, O., 1980, Toroslarda Aladağların yapısal evrimi: Türk. Jeol. Kur. Bült., 23/1, 11-14.
- Tekeli, O., Aksay, A., Evren-Ertan, İ., Işık, A. ve Ürgün, B.M., 1981, Toros ofiyolit projeleri Aladağ projesi raporu: MTA Gen. Md., Rapor No 6976 (yayınlanmamış).
- Thompson, A.B., 1975, Calc-silicati diffusion zones between marble and pelitic schist: J. Petrology, 16, 314-346.
- Ulakoglu, S., 1983, Karamadazı graniti ve çemresinin jeolojisi: Jeol. Müh., 17, 69-78.
- Vidale, R.J., 1969, Metasomatism in a chemical gradient and the formation of calc-silicate bands: Am. J. Sci., 207, 857-874.
- White, A.J.R. ve Chappell, B.W., 1977, Ultrametamorphism and granitoid genesis: Tectonophysics, 43, 7-22.
- Whitney, J.A., Hemley, J.J. ve Simon, F.O., 1985, The concentration of iron in chloride solutions equilibrated with synthetic granitic compositions: The sulfur-free system: Econ. Geol., 80, 444-460.
- Zharikov, V.A., 1970, Skarns: Intern. Geol. Rev., 12, 541-559, 619-647, 760-775.